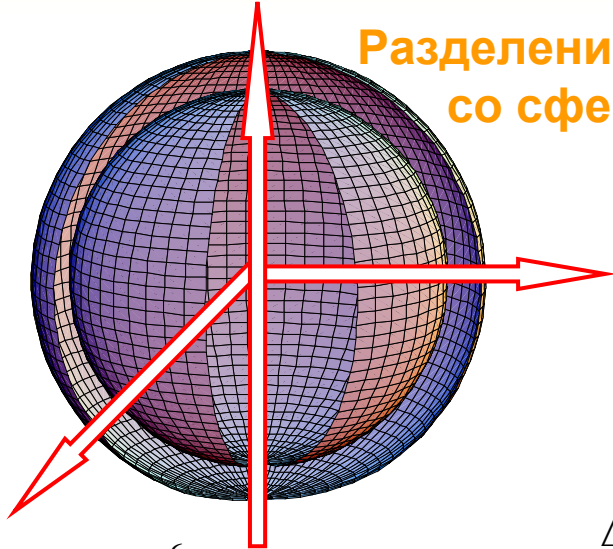


# Сферическая симметрия

Разделение переменных в системах со сферической симметрией



$$V(r) = \begin{cases} U, & R_1 < x < R_2 \\ 0 \end{cases}$$

$$-\frac{1}{2} \Delta \varphi(\vec{r}) + V(r) \varphi(\vec{r}) = E \cdot \varphi(\vec{r})$$

Исключаем угловые переменные

$$\Delta = \frac{1}{r^2} \frac{\partial}{\partial r} \left( r^2 \frac{\partial}{\partial r} \right) + \frac{1}{r^2 \sin \theta} \frac{\partial}{\partial \theta} \left( \sin \theta \frac{\partial}{\partial \theta} \right) + \frac{1}{r^2} \frac{1}{\sin^2 \theta} \frac{\partial^2}{\partial \varphi^2}$$

$$\varphi(\vec{r}) = \tilde{\varphi}(r) Y_{lm}(\vec{r}/r)$$

$$-\frac{1}{2} \left( \frac{\partial^2}{\partial r^2} + \frac{2 \cdot \partial}{r \cdot \partial r} \right) \tilde{\varphi}(r) + V(r) \tilde{\varphi}(r) + \frac{l(l+1)}{2 \cdot r^2} \tilde{\varphi}(r) = E \cdot \tilde{\varphi}(r)$$

$$\psi(r) = r \cdot \tilde{\varphi}(r)$$

$$-\frac{1}{2} \frac{\partial^2}{\partial r^2} \psi(r) + V(\vec{r}) \cdot \psi(r) + \frac{l(l+1)}{2 \cdot r^2} \psi(r) = E \cdot \psi(r)$$

# Сферическая симметрия

## Сферические гармоники

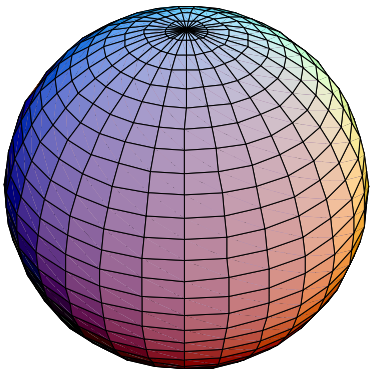
$$\Delta = \frac{1}{r^2} \frac{\partial}{\partial r} \left( r^2 \frac{\partial}{\partial r} \right) + \frac{1}{r^2 \sin \theta} \frac{\partial}{\partial \theta} \left( \sin \theta \frac{\partial}{\partial \theta} \right) + \frac{1}{r^2} \frac{1}{\sin^2 \theta} \frac{\partial^2}{\partial \varphi^2}$$

$$\varphi(\vec{r}) = \tilde{\varphi}(r) Y_{lm}(\vec{r}/r)$$

Сферические функции  $Y_{lm}(\vartheta, \varphi) = P_l^m(\cos \theta) e^{im\varphi}$

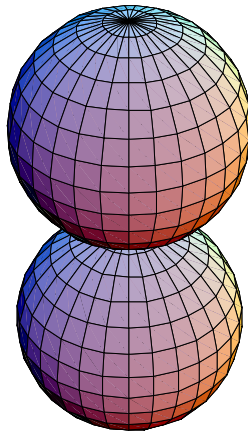
Полином Лежандра

$l=0, m=0$



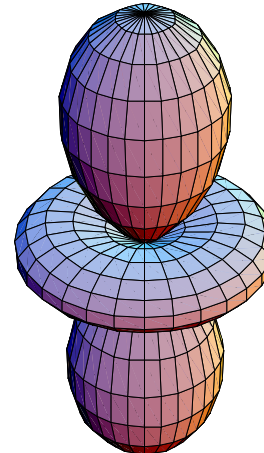
$$\sqrt{\frac{1}{4\pi}}$$

$l=1, m=0$



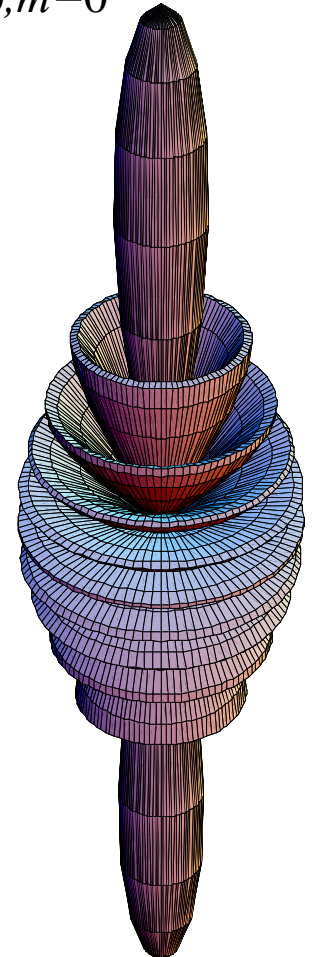
$$\sqrt{\frac{3}{4\pi}} \cos \theta$$

$l=2, m=0$



$$\sqrt{\frac{5}{16\pi}} (3 \cos^2 \theta - 1)$$

$l=10, m=0$



# Сферическая симметрия

## Сферические гармоники

$$\Delta = \frac{1}{r^2} \frac{\partial}{\partial r} \left( r^2 \frac{\partial}{\partial r} \right) + \frac{1}{r^2 \sin \theta} \frac{\partial}{\partial \theta} \left( \sin \theta \frac{\partial}{\partial \theta} \right) + \frac{1}{r^2} \frac{1}{\sin^2 \theta} \frac{\partial^2}{\partial \varphi^2}$$

$$\varphi(\vec{r}) = \tilde{\varphi}(r) Y_{lm}(\vec{r}/r)$$

Сферические функции  $Y_{lm}(\vartheta, \varphi) = \frac{1}{\sqrt{2\pi}} \sqrt{\frac{(2l+1)(l-m)!}{(l+m)!}} P_l^m(\cos \theta) e^{im\varphi}$

Оператор пространственной инверсии  $\theta \rightarrow \pi - \theta, \varphi \rightarrow \varphi + \pi$

$$\hat{P} Y_{lm}(\vartheta, \varphi) = (-1)^l Y_{lm}(\vartheta, \varphi)$$

Сферические функции ортогональны и образуют полный набор

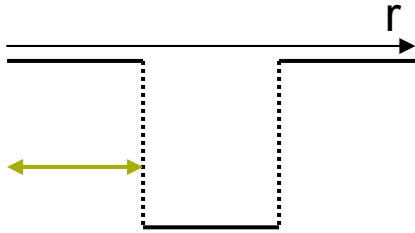
$$\int Y_{lm}(\vartheta, \varphi) Y_{l'm'}(\vartheta, \varphi)^* d\Omega = \delta_{ll'} \delta_{mm'}$$

$$\sum_m Y_{lm}(\vartheta_1, \varphi_1)^* Y_{l'm'}(\vartheta_2, \varphi_2) = \frac{2l+1}{4\pi} P_l(\cos \theta)$$

$$Y_{lm}(\vartheta, \varphi) Y_{l'm'}(\vartheta, \varphi) = \sum_{LM} C_{lm'l'm'}^{LM} Y_{LM}(\vartheta, \varphi)$$

# Сферическая симметрия

## Сферическая потенциальная яма конечной глубины



$$V(r) = \begin{cases} U, & R_1 < x < R_2 \\ 0 \end{cases}$$

- ✓ Сколько дискретных уровней с  $l$  в яме?
- ✓ Как изменяется число уровней с  $l$  при удалении ямы от начала координат (центра симметрии)?
- ✓ Всегда ли есть дискретный уровень с  $l$ ?

После исключения угловых переменных:

$$-\frac{1}{2} \left( \frac{\partial^2}{\partial r^2} + \frac{2 \cdot \partial}{r \cdot \partial r} \right) \tilde{\varphi}(r) + V(r) \tilde{\varphi}(r) + \frac{l(l+1)}{2 \cdot r^2} \tilde{\varphi}(r) = E \cdot \tilde{\varphi}(r)$$

$$\psi(r) = r \cdot \tilde{\varphi}(r)$$

$$\psi(0) = 0 \cdot \tilde{\varphi}(0) = 0$$

$$-\frac{1}{2} \frac{\partial^2}{\partial r^2} \psi(r) + V(\vec{r}) \cdot \psi(r) + \frac{l(l+1)}{2 \cdot r^2} \psi(r) = E \cdot \psi(r)$$

s-состояние

$$-\frac{1}{2} \frac{\partial^2}{\partial r^2} \psi(r) + V(\vec{r}) \cdot \psi(r) = E \cdot \psi(r)$$

Уравнение совпадает с одномерным случаем. Совпадает ли спектр?

# Сферическая симметрия

## Граничные условия для сферически симметричной системы

$$-\frac{1}{2} \left( \frac{\partial^2}{\partial r^2} + \frac{2 \cdot \partial}{r \cdot \partial r} \right) \tilde{\varphi}(r) + V(r) \tilde{\varphi}(r) + \frac{l(l+1)}{2 \cdot r^2} \tilde{\varphi}(r) = E \cdot \tilde{\varphi}(r)$$

$$\hat{p}_r = -i\hbar \frac{\partial}{\partial r}$$

- вид оператора импульса в сферической системе координат

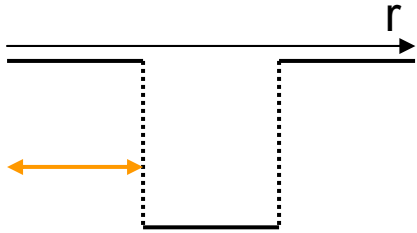
Условие эрмитовости оператора импульса:

$$\begin{aligned} 0 &= \langle \tilde{\varphi}(r) | \hat{p}_r | \tilde{\varphi}(r) \rangle - \langle \tilde{\varphi}(r) | \hat{p}_r | \tilde{\varphi}(r) \rangle^* = \int_0^\infty (\tilde{\varphi}^*(r) \hat{p}_r \tilde{\varphi}(r) - \tilde{\varphi}(r) \hat{p}_r \tilde{\varphi}^*(r)) r^2 dr = \\ &= -i\hbar \int_0^\infty (\tilde{\varphi}^*(r) \frac{\partial}{\partial r} \tilde{\varphi}(r) + \tilde{\varphi}(r) \frac{\partial}{\partial r} \tilde{\varphi}^*(r) + \frac{2}{r} \tilde{\varphi}^*(r) \tilde{\varphi}(r)) r^2 dr = \\ &= -i\hbar \int_0^\infty r^2 \frac{\partial}{\partial r} |\tilde{\varphi}(r)|^2 dr - i\hbar \int_0^\infty 2r |\tilde{\varphi}(r)|^2 dr = -i\hbar r^2 |\tilde{\varphi}(r)|^2 \Big|_0^\infty \end{aligned}$$

$$\psi(r) = r \cdot \tilde{\varphi}(r) \quad \psi(0) = 0$$

# Сферическая симметрия

## Общие свойства решений уравнения Шредингера



$$V(r) = \begin{cases} U, & R_1 < r < R_2 \\ 0 & \end{cases}$$

$$-\frac{1}{2} \frac{\partial^2}{\partial r^2} \psi(r) + V(\vec{r}) \cdot \psi(r) + \frac{l(l+1)}{2 \cdot r^2} \psi(r) = E \cdot \psi(r)$$

$$\psi(r) = r^s (1 + a_1 r + \dots)$$

$$s(s-1) - l(l+1) = 0$$

$$s = l+1, \quad s = -l$$

Регулярное и нерегулярное в начале координат решение

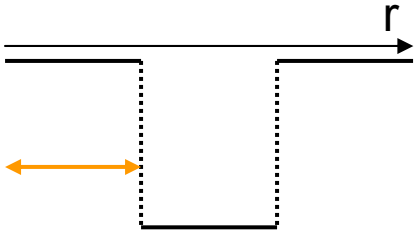
Решения при  $r \rightarrow \infty$

$$\psi(r) \sim e^{\pm \sqrt{2E}r} \quad \psi(r) \sim \cos \sqrt{2E}r, \quad \sin \sqrt{2E}r$$

Если  $E < 0$  то регулярное решение экспоненциально растет на бесконечности кроме некоторых значений  $E$ , если  $E > 0$  то осциллирует

# Сферическая симметрия

## Сферическая потенциальная яма конечной глубины



$$V(r) = \begin{cases} U, & R_1 < x < R_2 \\ 0 & \end{cases}$$

$$-\frac{1}{2} \frac{\partial^2}{\partial r^2} \psi(r) + V(\vec{r}) \cdot \psi(r) + \frac{l(l+1)}{2 \cdot r^2} \psi(r) = E \cdot \psi(r)$$

Два линейно независимых решения

$$\sqrt{r} I_{l+1/2}(kr)$$

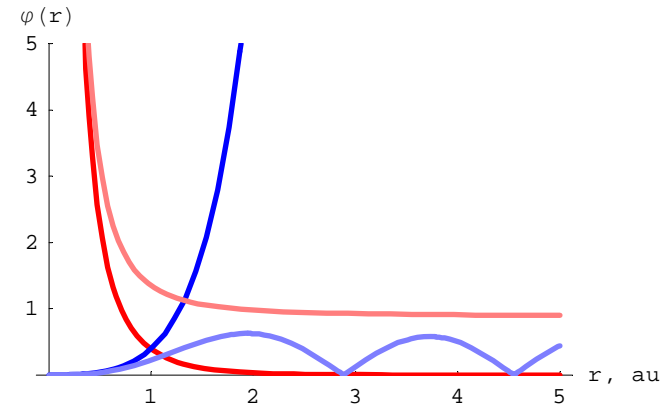
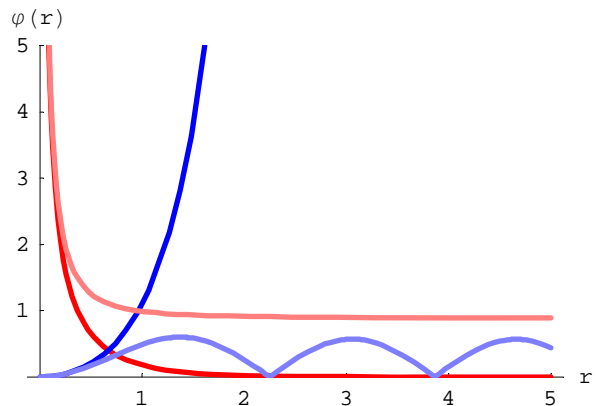
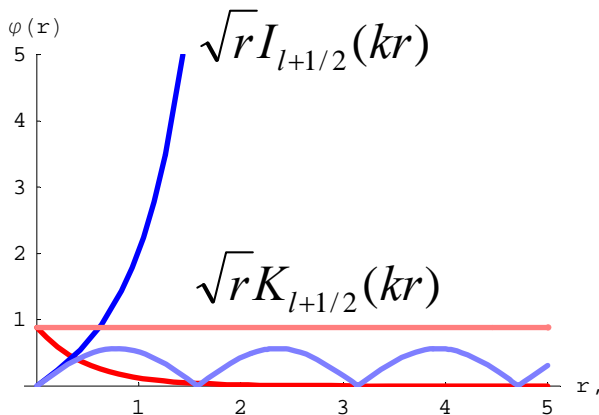
$$\sqrt{r} K_{l+1/2}(kr)$$

модифицированная функция Бесселя первого и второго рода (Инфельда и МакДональда)

$l=0$

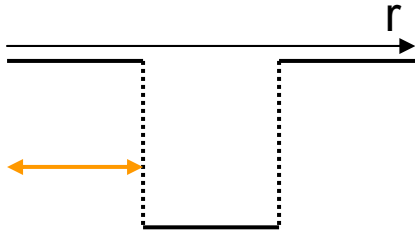
$l=1$

$l=2$



# Сферическая симметрия

## Сферическая потенциальная яма конечной глубины



$$V(r) = \begin{cases} U, & R_1 < x < R_2 \\ 0 & \end{cases}$$

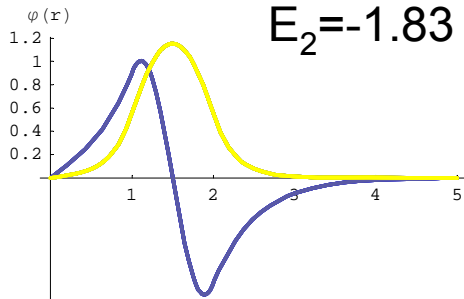
$$-\frac{1}{2} \frac{\partial^2}{\partial r^2} \psi(r) + V(\vec{r}) \cdot \psi(r) + \frac{l(l+1)}{2 \cdot r^2} \psi(r) = E \cdot \psi(r)$$

## Влияние центробежного потенциала

$$R_1 = 1 \text{ au}, R_2 = R_1 + 1 \text{ au}, U_0 = -10 \text{ au}$$

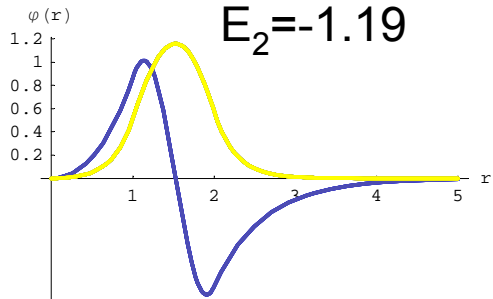
$l=0$

$$E_1 = -7.70 \\ E_2 = -1.83$$



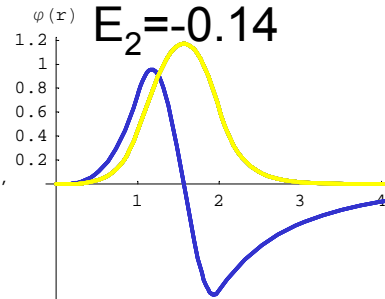
$l=1$

$$E_1 = -7.21 \\ E_2 = -1.19$$



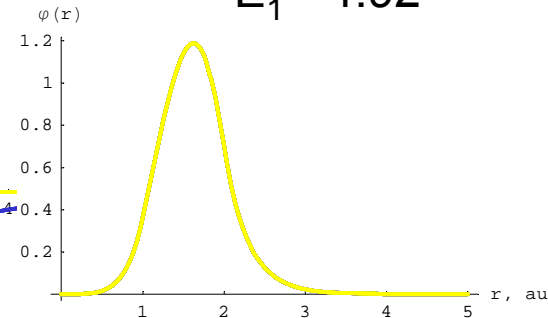
$l=2$

$$E_1 = -6.26 \\ E_2 = -0.14$$

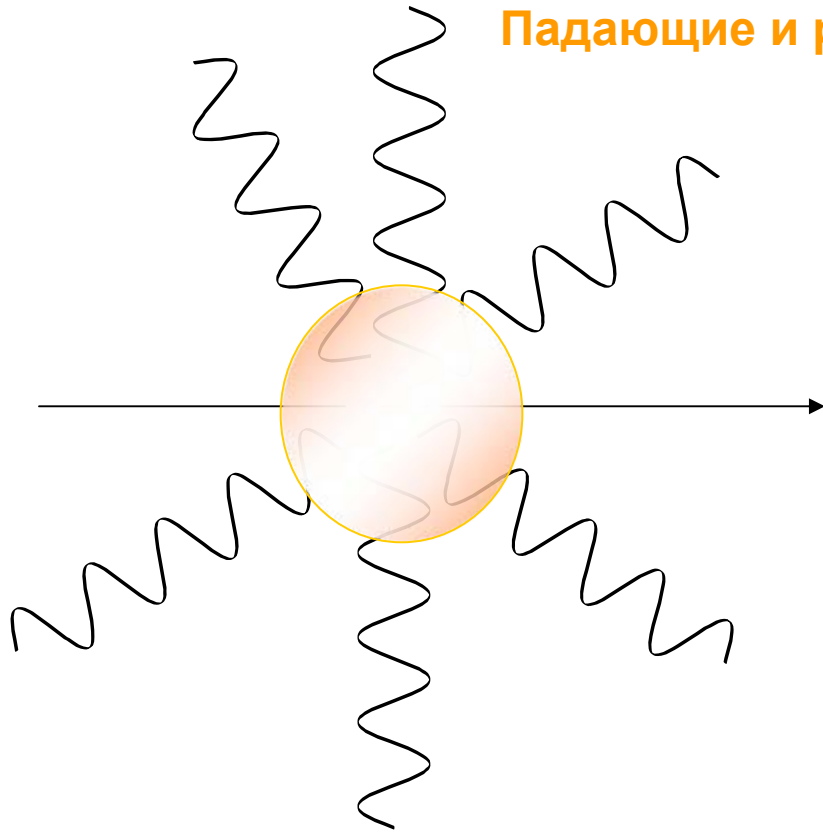


$l=3$

$$E_1 = -4.92$$



# Сферическая симметрия



## Падающие и расходящиеся сферические волны

Радиальная функция свободной частицы в сферически симметричном потенциале

$$\psi_{kl}(r) = \sqrt{\frac{2\pi k}{r}} J_{l+1/2}(kr) = 2(-1)^l \frac{r^l}{k^l} \left( \frac{d}{rdr} \right)^l \frac{\sin kr}{kr}$$

Асимптотическое поведение на больших расстояниях

$$\psi_{kl}(r) \rightarrow \frac{2}{r} \sin\left(kr - \frac{l\pi}{2}\right)$$

Решения, обладающие определенным направлением движения, падающая и расходящаяся волны

$$\psi_{kl}(r) \rightarrow \frac{2}{r} \exp\left(\pm i\left(kr - \frac{l\pi}{2}\right)\right) \quad \leftarrow \quad \psi_{kl}^{\pm}(r) = \frac{1}{\sqrt{k}} (-1)^l \frac{r^l}{k^l} \left( \frac{d}{rdr} \right)^l \frac{e^{\pm ikr}}{kr}$$

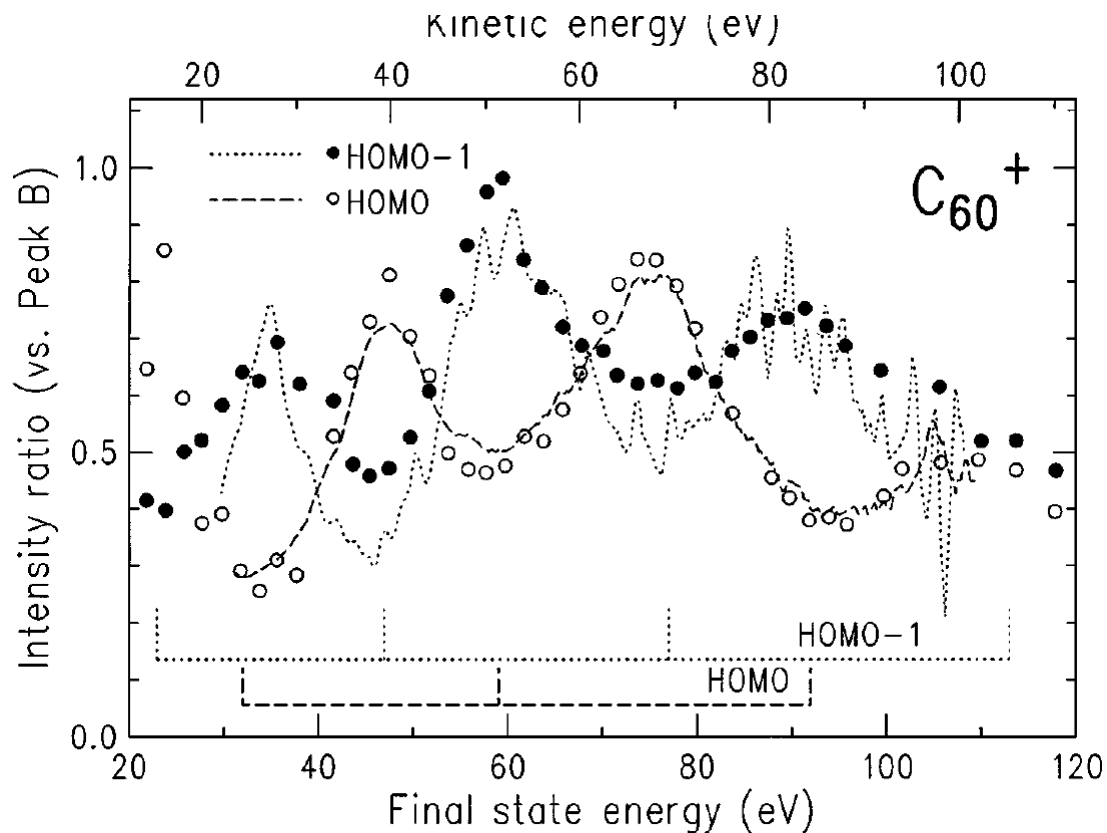
## Разложение плоской волны по сферическим

$$e^{ikz} = e^{ikr \cos \theta} = \sqrt{\frac{2}{\pi r}} \sum_{l=0}^{\infty} (2l+1) i^l J_{l+1/2}(kr) P_l(\cos \theta)$$

# Эндоэдральное соединение

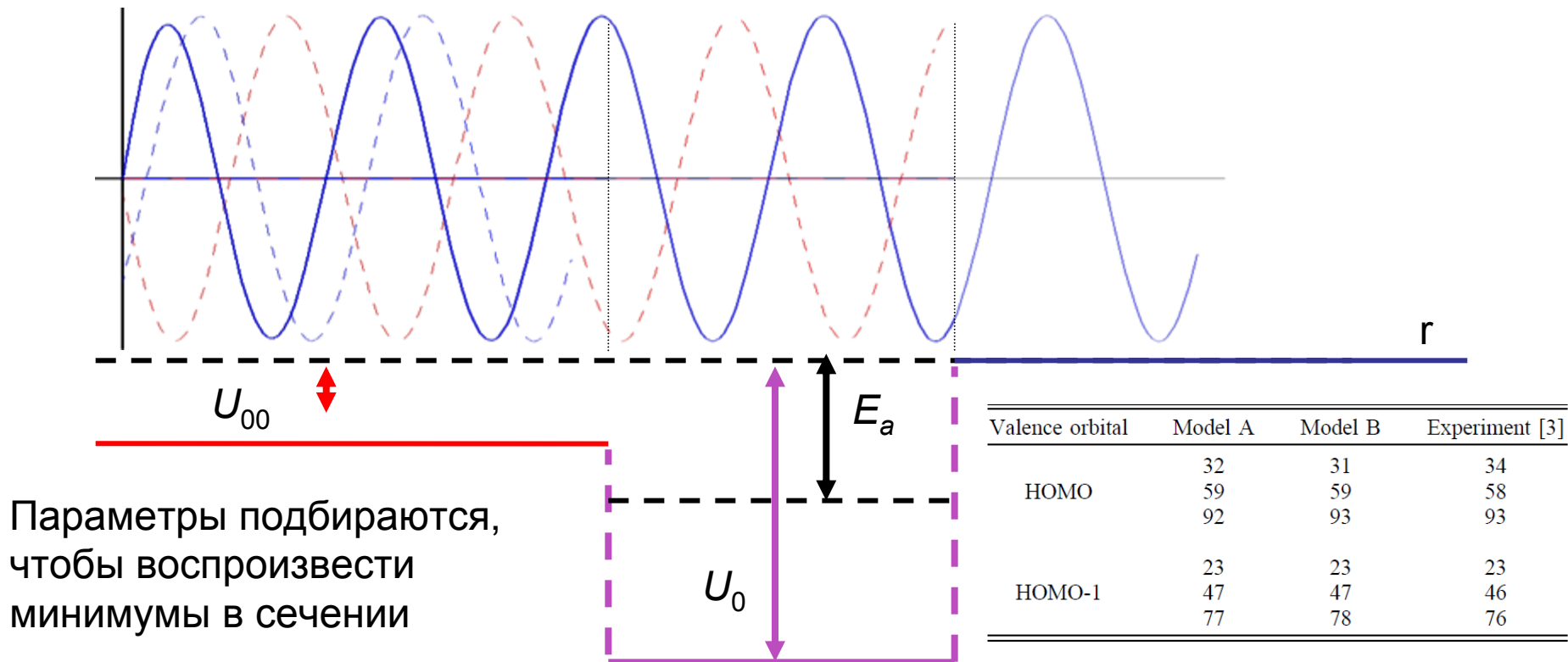
## Наблюдение конфаймент-резонансов

Y.B. Xu, M.Q. Tan, and U. Becker, *Phys. Rev. Lett.* **76**, 3538 (1996).  
«Oscillations in the Photoionization Cross Section of  $C_{60}$ »



# Эндоэдральное соединение

## Природа конфайнмент-резонансов

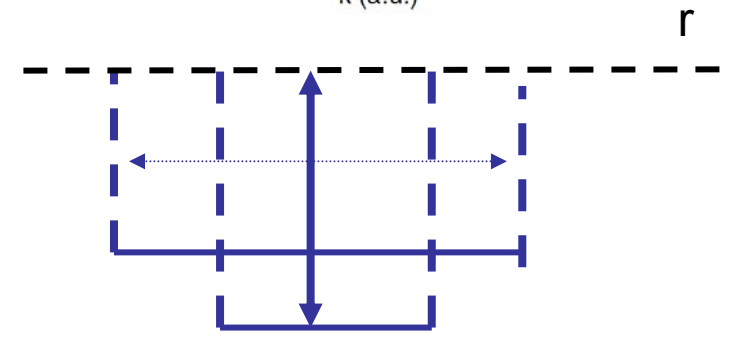
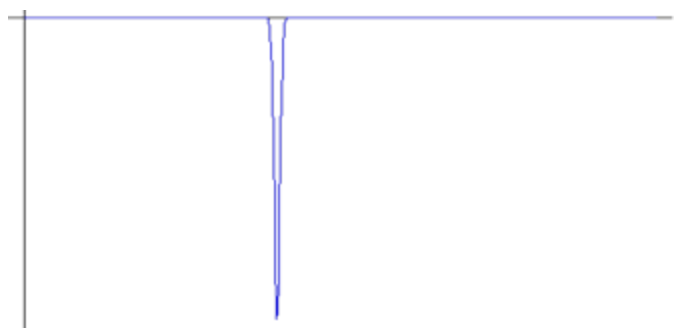
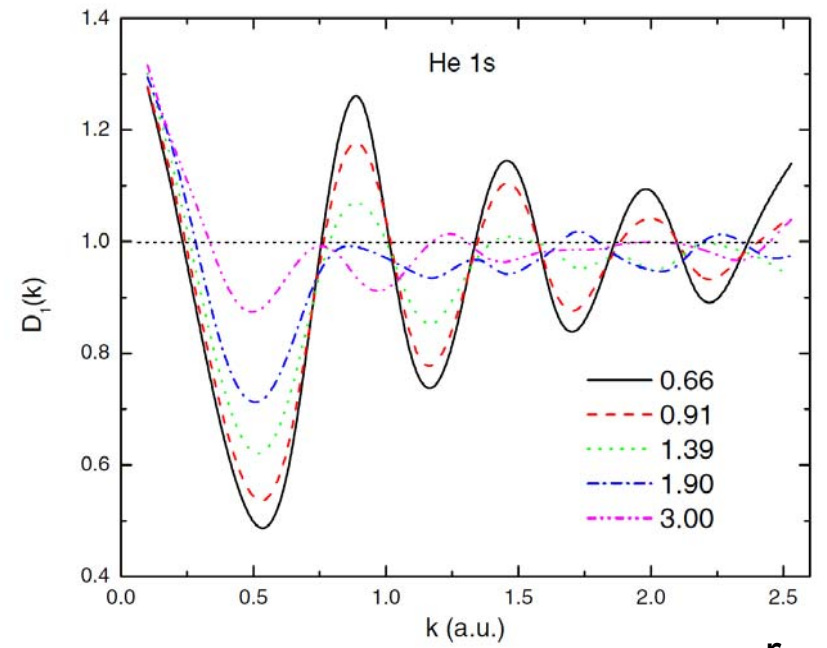
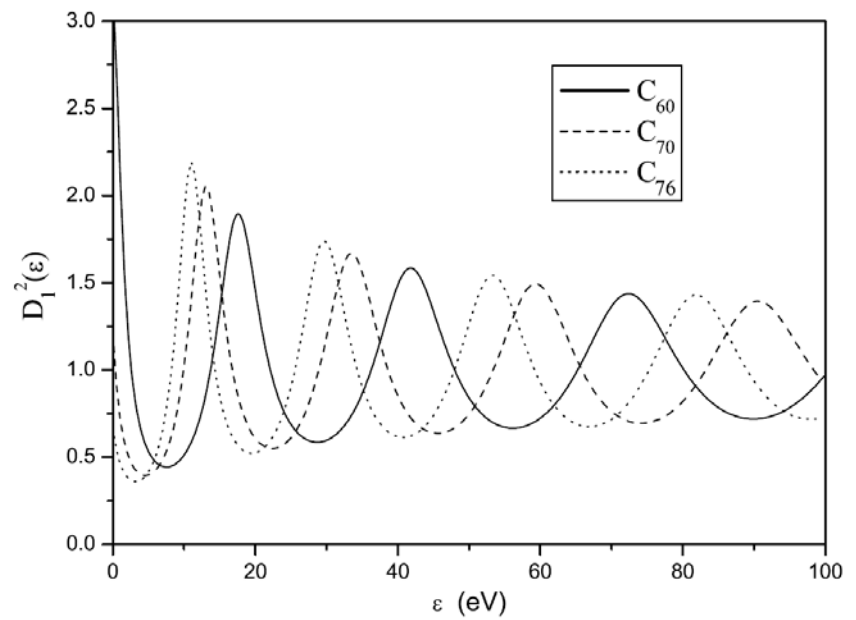


Y.B. Xu, M.Q. Tan, and U. Becker, *Phys. Rev. Lett.* **76**, 3538 (1996).  
«Oscillations in the Photoionization Cross Section of  $C_{60}$ »

P.J. Benning, D.M. Poirier, N. Troullier, J.L. Martins, J.H. Weaver, R.E. Haufler, L.P. Chibante, and R.E. Smalley, *Phys. Rev. B* **44**, 1962 (1991).

# Эндоэдральное соединение

## Зависимость сечения ионизации от формы потенциала



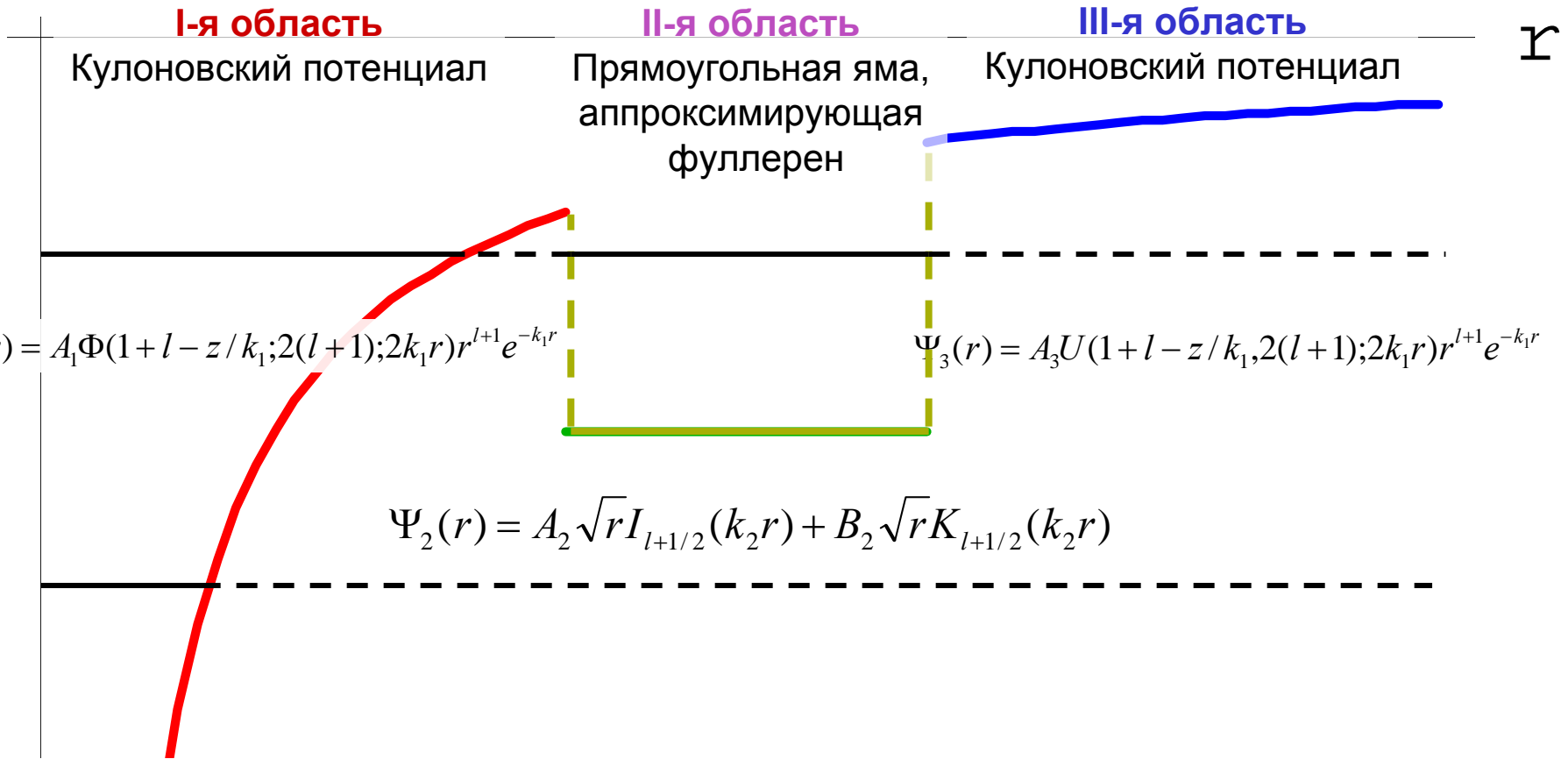
M.Ya. Amusia, E.Z. Liverts and V.B. Mandelzweig *Phys. Rem. A* **74**, 042712 (2006).

A.S. Baltakov, U. Becker, S.T. Manson and A.Z. Msezane

*J. Phys. B: At. Mol. Opt. Phys.* **43** 115102 (2010).

# Эндоэдральное соединение

$U(r)$



$\Phi = {}_1F_1, U = {}_2F_0$

$I_{l+1/2}, K_{l+1/2}$

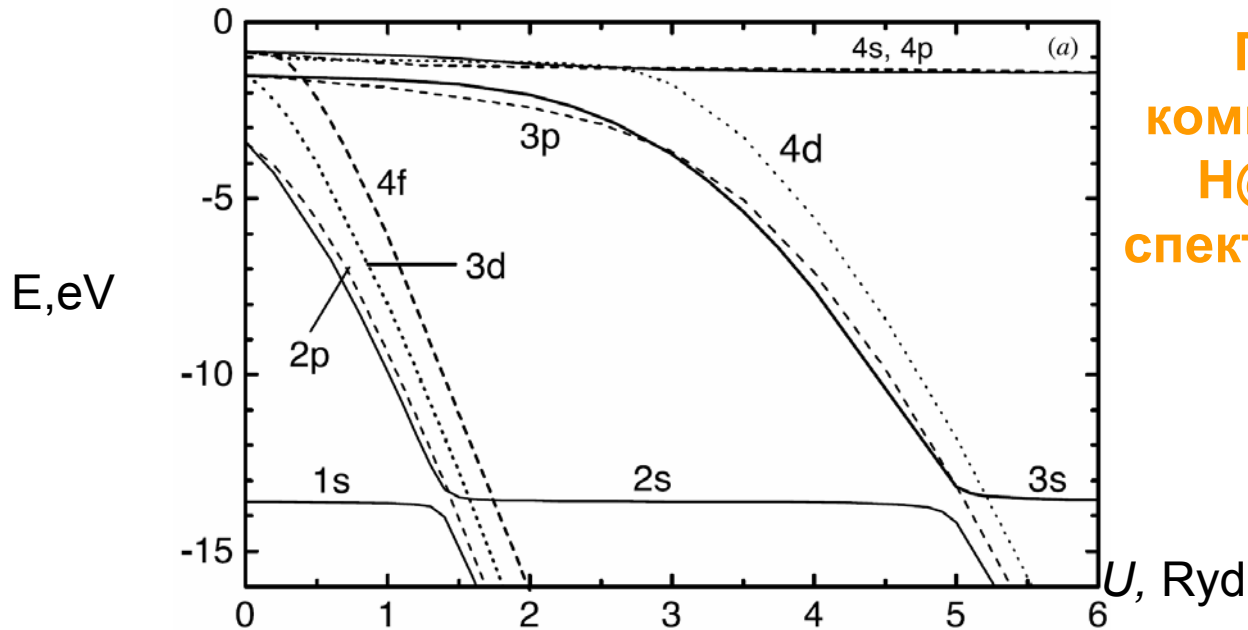
- вырожденные гипергеометрические функции

- функции Инфельда и Макдональда

# Эндоэдральное соединение

## Спектр $\text{H@C}_{60}$ и $\text{H@C}_{36}$

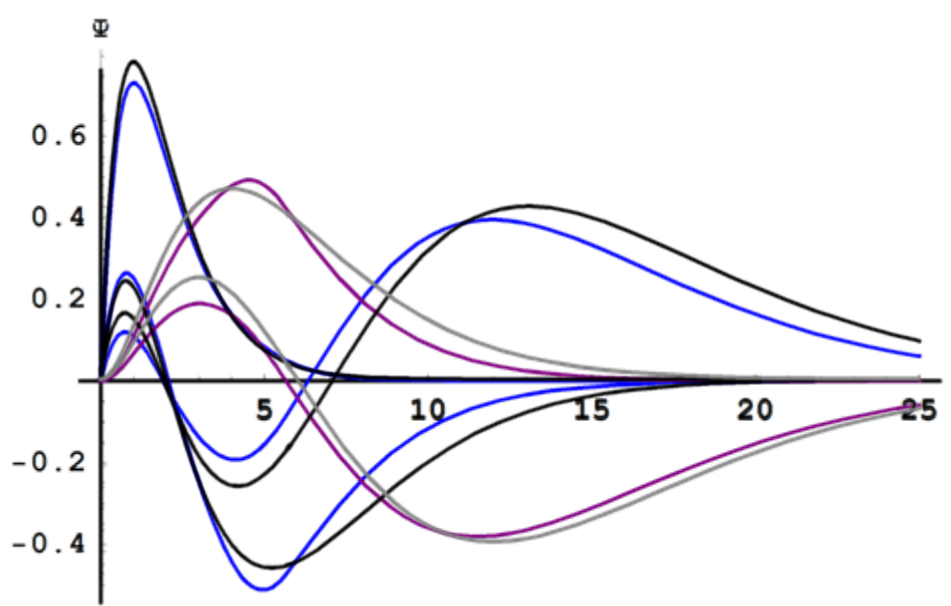
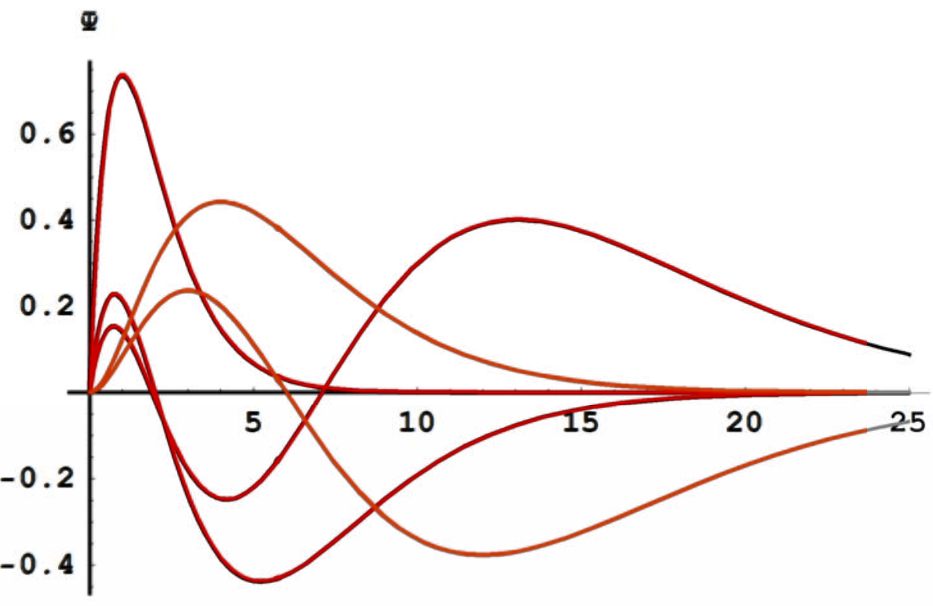
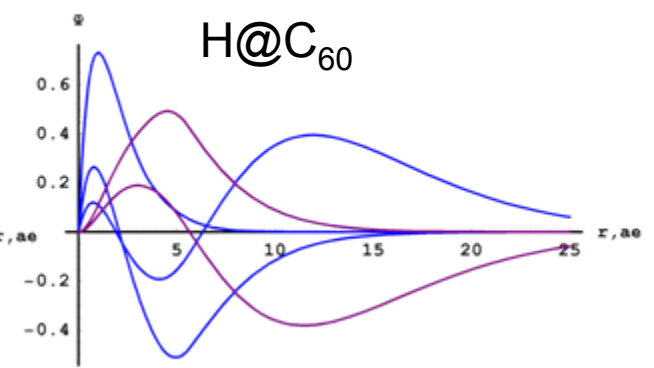
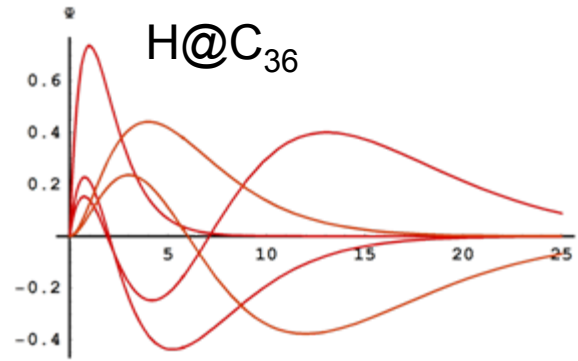
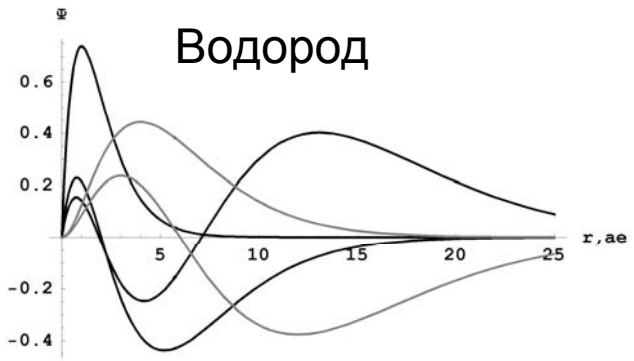
уровень	H	Яма@C <sub>60</sub>	H@C <sub>60</sub>	Яма@C <sub>36</sub>	H@C <sub>36</sub>
1s	-0.5	-0.09697	-0.50014	-0.10323	-0.50187
2s	-0.125	-	-0.17762		-0.16617
2p	-0.125	-0.07122	-0.16312	-0.05084	-0.16416
3s	-0.05(5)	-	-0.05657		-0.06027
3p	-0.05(5)	--0.02580	-0.05757		-0.05752
3d	-0.05(5)	-			



Почему для более компактного соединения  $\text{H@C}_{36}$  спектр ближе к спектру свободного атома?

# Эндоэдральное соединение

## Спектр $\text{H@C}_{60}$ и $\text{H@C}_{36}$



Система «чувствует» воздействие потенциала через плотность волновой функции

# Эндоэдральное соединение

## Спектр фотоионизации H@C<sub>60</sub> и H@C<sub>36</sub>

